

# 吸附 NH<sub>3</sub> 的活性焦脱除 SO<sub>2</sub> 的实验研究

吴 涛, 郭 治, 梁大明, 孙仲超, 李兰廷

(煤炭科学研究院 北京煤化工分院, 北京 100013)

**摘要:** 对新鲜活性焦和吸附有 NH<sub>3</sub> 的活性焦脱除不同气氛中的 SO<sub>2</sub> 进行了实验研究。结果表明, 当烟气中不含有 H<sub>2</sub>O 和 O<sub>2</sub> 时, SO<sub>2</sub> 在新鲜活性焦表面的脱除主要是物理吸附。活性焦吸附 NH<sub>3</sub> 后, 增加了焦表面的碱性, 提高了活性焦对 SO<sub>2</sub> 的吸附能力。当烟气中含有 H<sub>2</sub>O 和 O<sub>2</sub> 时, SO<sub>2</sub> 在新鲜活性焦表面的脱除包括吸附和表面反应。NH<sub>3</sub> 吸附在焦表面, 不仅与硫酸反应, 而且焦表面碱性的增加对 SO<sub>2</sub> 的脱除有很大的促进作用。对活性焦样品 X 射线光电子能谱分析发现, NH<sub>3</sub> 吸附在焦表面产生了含 N 官能团, 此官能团增加了活性焦表面的碱性, 对 SO<sub>2</sub> 的吸附及氧化具有促进作用。

**关键词:** 活性焦; 脱硫; 吸附 NH<sub>3</sub>

中图分类号:TQ424.1

文献标识码:A

文章编号:1006-6772(2010)03-0077-04

作为大气主要污染物的 SO<sub>2</sub> 和 NO<sub>x</sub> 排放呈增加趋势, 它们导致的酸雨危害巨大。大气污染所造成的损失每年约占中国 GDP 的 2% ~ 3% 之间。燃煤发电厂是大气中 SO<sub>2</sub> 的主要来源, 降低电厂 SO<sub>2</sub> 排放量, 对控制大气污染具有重要的意义。

活性焦具有发达的比表面积与孔结构、丰富的表面基团和可再生性, 是一种优良的脱硫吸附剂。在燃煤电厂中, 活性焦烟气净化已经得到广泛的研究和应用<sup>[1]</sup>。

从 20 世纪 60 年代开始德国和日本就进行活性焦烟气脱硫技术的研究和开发, 90 年代开发出移动床活性焦脱硫脱硝设备, 用于 SO<sub>2</sub> 和 NO<sub>x</sub> 的联合脱除。中国 90 年代初开始根据国情开发活性焦烟气脱硫技术, 联合脱硫脱硝目前处于实验室研究阶段。活性焦联合脱硫脱硝工艺一般采用两段吸附

塔, 烟气先水平通过吸附塔的第 1 段, SO<sub>2</sub> 在此被脱除, 然后进入第 2 段, NO<sub>x</sub> 与喷入的氨反应被脱除。活性焦在立式吸附塔内靠重力从第 2 段下降至第 1 段, 活性焦先脱除 NO 后脱除 SO<sub>2</sub>。由此可见, 活性焦脱除 NO 的过程中, 会吸附部分 NH<sub>3</sub>, 继而移至脱硫吸附塔中进行 SO<sub>2</sub> 脱除。主要进行吸附有 NH<sub>3</sub> 的活性焦脱除 SO<sub>2</sub> 的实验研究, 考察活性焦吸附 NH<sub>3</sub> 后对 SO<sub>2</sub> 脱除的影响。

## 1 实验部分

### 1.1 实验样品

实验所用活性焦样品由太西无烟煤制得, 其孔结构参数见表 1, 活性焦样品具有较发达的孔隙结构, 绝大多数是微孔结构, 微孔面积约占总孔面积的 95%。

表 1 活性焦样品孔结构参数

大孔孔容/ (cm <sup>3</sup> · g <sup>-1</sup> )	中孔孔容/ (cm <sup>3</sup> · g <sup>-1</sup> )	微孔孔容/ (cm <sup>3</sup> · g <sup>-1</sup> )	总孔容/ (cm <sup>3</sup> · g <sup>-1</sup> )	大孔面积/ (m <sup>2</sup> · g <sup>-1</sup> )	中孔面积/ (m <sup>2</sup> · g <sup>-1</sup> )	微孔面积/ (m <sup>2</sup> · g <sup>-1</sup> )	总面积/ (m <sup>2</sup> · g <sup>-1</sup> )
411.43	0.2451	0.0259	0.1416	0.4126	1.265	19.102	391.06

收稿日期: 2010-03-17

基金项目: 国家 973 课题: 煤基吸附剂脱除污染物的机理研究(2006CB200302); 国家 863 课题: 煤基吸附剂联合脱硫脱硝新工艺开发(2008AA05Z301)

作者简介: 吴涛(1983—), 女, 山西榆次人, 硕士研究生, 现在煤炭科学研究院从事煤基炭材料研究工作。Tel: 010-84262967

## 1.2 实验装置及方法

实验装置如图 1 所示,实验系统由微型反应器、加热温控系统、模拟烟气配气系统和尾气检测系统组成。

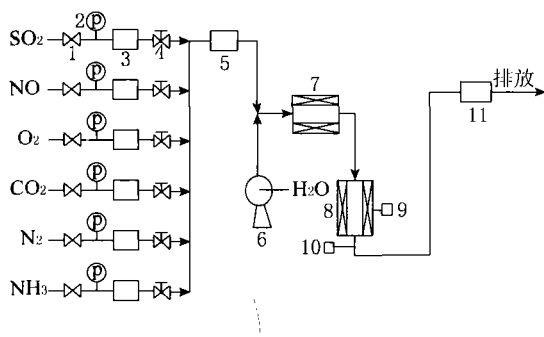


图 1 微反装置示意

1—压力调节阀;2—压力表;3—质量流量计;  
4—截止阀;5—气体混合器;6—微量泵;  
7—汽化器;8—反应器;9—温控仪;  
10—反应温度显示仪;11—质谱仪

以直径 1 cm 高 20 cm 的石英玻璃管作为反应器,模拟烟气由  $\text{SO}_2$ 、 $\text{O}_2$ 、 $\text{CO}_2$  等瓶气通过质量流量计准确定量,进入混合器中混合均匀,再与由微量注射泵计量的通入汽化器汽化的水蒸气混合进入反应器。反应温度由温控仪自动控制。气体中的  $\text{SO}_2$ 、 $\text{O}_2$ 、 $\text{CO}_2$ 、 $\text{H}_2\text{O}$  等成分的浓度用德国 IPI 公司的 GMA200 型质谱仪连续取样检测。

实验将体积分数为  $1000 \times 10^{-6}$   $\text{NH}_3$ , 平衡气为  $\text{N}_2$  的气体通入新鲜活性焦, 当尾气中  $\text{NH}_3$  浓度达到稳定后停止, 此时活性焦吸附有  $\text{NH}_3$ 。

将不同组分和配比的气体见表 2, 通入新鲜活性焦或吸附有  $\text{NH}_3$  的活性焦。考察气氛中无  $\text{H}_2\text{O}$  和  $\text{O}_2$  时, 新鲜活性焦和吸附有  $\text{NH}_3$  的活性焦脱除  $\text{SO}_2$  的实验, 以及气氛中同时存在  $\text{H}_2\text{O}$  和  $\text{O}_2$  时, 新鲜活性焦和吸附有  $\text{NH}_3$  的活性焦脱除  $\text{SO}_2$  的实验。

表 2 烟气组分及含量

实验	$\text{SO}_2$ 体积 分数( $\times 10^{-6}$ )/%	$\text{O}_2$ 体积 分数/%	$\text{CO}_2$ 体积 分数/%	$\text{H}_2\text{O}$ 体积 分数/%	$\text{N}_2$ 体积 分数/%	$\text{NH}_3$ 体积 分数( $\times 10^{-6}$ )/%
1	1000	—	—	—	平衡	—
2	1000	—	—	—	平衡	1000
3	1000	—	—	—	平衡	1000
4	1000	6	8	10	平衡	—
5	1000	6	8	10	平衡	1000

实验条件: 反应温度控制在 150 ℃, 装填活性焦为 0.905 g, 烟气总流量为 150 mL/min。

## 1.3 数据处理方法

### (1) 脱除率

$\text{SO}_2$  的脱除率表示为  $X$  计算方法如下:

$$X = (1 - C_i/C_o) \times 100$$

$X$ — $\text{SO}_2$  的脱除率, %;

$C_o$ —原料混合气中  $\text{SO}_2$  的体积分数,  $10^{-6}$ ;

$C_i$ —第  $i$  采样时间对应的尾气中  $\text{SO}_2$  的体积  
分数,  $10^{-6}$ ;

### (2) 吸附量

活性焦吸附  $\text{SO}_2$  和  $\text{NH}_3$  的能力用吸附量来表示, 分别表示为  $Q_{\text{SO}_2}$ 、 $Q_{\text{NH}_3}$ 。计算方法如下:

$$Q = [C_o \times V \times \sum_{i=1}^n T_i - \sum_{i=1}^n C_i \times V \times T_i] \times 10^6 / 22.4 / m$$

$Q$ — $\text{SO}_2$  或  $\text{NH}_3$  在活性焦上的吸附量,  
 $\text{mmol/g}$ ;

$C_o$ —原料混合气中  $\text{SO}_2$  或  $\text{NH}_3$  的体积浓  
度,  $10^{-6}$ ;

$C_i$ —第  $i$  采样时间对应的尾气中  $\text{SO}_2$  或  $\text{NH}_3$   
的体积浓度,  $10^{-6}$ ;

$T_i$ —第  $i$  采样时间, min;

$V$ —混合气体状态下的体积流量, mL/min;

$n$ —吸附达到饱和时或规定时间内的采样  
次数。

$m$ —活性焦装填量, g。

## 2 结果与讨论

当烟气中不含有  $\text{O}_2$  和  $\text{H}_2\text{O}$  时, 用新鲜活性焦和吸附  $\text{NH}_3$  的活性焦脱除  $\text{SO}_2$  的对比曲线如图 2 所示。

由图 2 可得, 在  $\text{SO}_2$  的脱除初期, 吸附  $\text{NH}_3$  的活性焦脱除效率较新鲜活性焦脱除效率要高, 在 40 min 以后, 2 条脱除曲线趋于重合。新鲜的活性

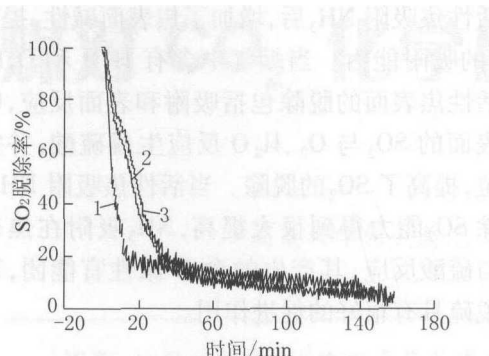


图2 新鲜活性焦和吸附NH<sub>3</sub>的活性焦在无H<sub>2</sub>O和O<sub>2</sub>的气氛下脱除SO<sub>2</sub>的曲线

1—新鲜活性焦;2—吸附0.553 mmol/g NH<sub>3</sub>的活性焦;  
3—吸附1.242 mmol/g NH<sub>3</sub>的活性焦

焦吸附SO<sub>2</sub>主要发生的是物理吸附,穿透较快,SO<sub>2</sub>的脱除率降至20%的时间为18 min。用吸附NH<sub>3</sub>的活性焦吸附SO<sub>2</sub>时,SO<sub>2</sub>的吸附率降至20%的时间为40 min,明显比新鲜活性焦要长。活性焦吸附NH<sub>3</sub>后,提高了对SO<sub>2</sub>的吸附能力。随着活性位被占据,40 min后吸附NH<sub>3</sub>的焦与未吸附NH<sub>3</sub>的焦脱除SO<sub>2</sub>曲线表现出相同的趋势,此时SO<sub>2</sub>在活性焦表面的吸附主要属于物理吸附。由于烟气中不存在H<sub>2</sub>O和O<sub>2</sub>,吸附在焦表面的SO<sub>2</sub>未能形成硫酸并空出活性位,因而SO<sub>2</sub>的吸附量不大。

当烟气中同时含有O<sub>2</sub>、H<sub>2</sub>O和SO<sub>2</sub>时,用新鲜活性焦和吸附NH<sub>3</sub>的活性焦脱除SO<sub>2</sub>的曲线如图3所示。

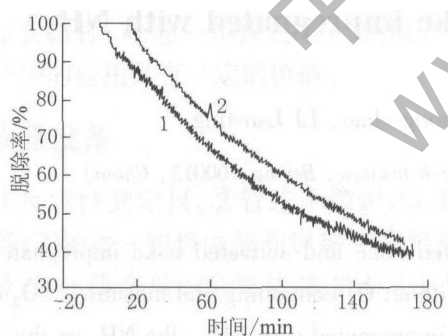


图3 新鲜活性焦和吸附NH<sub>3</sub>的活性焦在有O<sub>2</sub>和H<sub>2</sub>O的气氛下脱除SO<sub>2</sub>的曲线  
1—新鲜活性焦;2—吸附NH<sub>3</sub>的活性焦

当活性焦吸附NH<sub>3</sub>后,其百分之百脱除SO<sub>2</sub>的时间明显长于新鲜活性焦,提高了SO<sub>2</sub>的脱除量。一些学者<sup>[2-4]</sup>用NH<sub>3</sub>活化活性炭纤维对活化后的炭表面化学性质进行分析,认为炭表面官能团与NH<sub>3</sub>结合,引入了含N碱性官能团,形成具有相当大离

子交换能力的碱性炭表面,增加了SO<sub>2</sub>的脱除能力。此外,烟气中有H<sub>2</sub>O和O<sub>2</sub>存在的条件下,SO<sub>2</sub>吸附在焦表面形成硫酸并与吸附态的NH<sub>3</sub>反应生成铵盐,也促进了SO<sub>2</sub>的脱除。

将图2与图3中5种不同条件下,SO<sub>2</sub>吸附量进行对比见图4。

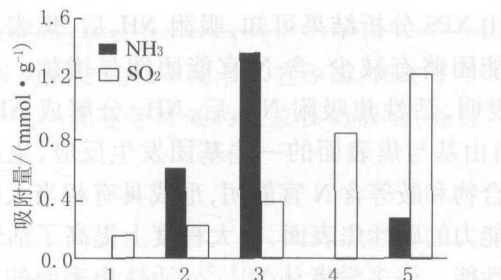


图4 不同条件下活性焦吸附NH<sub>3</sub>和SO<sub>2</sub>量

1—新鲜活性焦/烟气无H<sub>2</sub>O和O<sub>2</sub>;  
2,3—吸附NH<sub>3</sub>活性焦/烟气无H<sub>2</sub>O和O<sub>2</sub>;  
4—新鲜活性焦/烟气有H<sub>2</sub>O和O<sub>2</sub>;  
5—吸附NH<sub>3</sub>活性焦/烟气有H<sub>2</sub>O和O<sub>2</sub>。

烟气无H<sub>2</sub>O和O<sub>2</sub>时,SO<sub>2</sub>在新鲜活性焦表面上主要进行物理吸附,吸附量小。当活性焦吸附NH<sub>3</sub>后对SO<sub>2</sub>的吸附具有促进作用,但随着活性焦吸附NH<sub>3</sub>的增加,SO<sub>2</sub>的吸附量不同程度增加。当烟气中有H<sub>2</sub>O和O<sub>2</sub>时,SO<sub>2</sub>在活性焦表面发生吸附与表面反应,烟气中的O<sub>2</sub>和H<sub>2</sub>O与SO<sub>2</sub>反应生成硫酸进而空出活性位,使得SO<sub>2</sub>在焦表面继续吸附,吸附量较大。当活性焦吸附NH<sub>3</sub>后,显著促进了SO<sub>2</sub>的脱除,此时SO<sub>2</sub>吸附量最大。

烟气中无H<sub>2</sub>O和O<sub>2</sub>时,活性焦吸附NH<sub>3</sub>的量明显高于SO<sub>2</sub>,并且随着NH<sub>3</sub>吸附量的增加,活性焦吸附SO<sub>2</sub>并未同等程度增加。这是因为,NH<sub>3</sub>吸附到活性焦表面,只有部分NH<sub>3</sub>与焦表面的官能团结合,增加焦表面碱性,促进对SO<sub>2</sub>的吸附能力。

烟气中有H<sub>2</sub>O和O<sub>2</sub>时,相对于新鲜活性焦,其对SO<sub>2</sub>的吸附量有较大的提高。由此可见,烟气中有O<sub>2</sub>和H<sub>2</sub>O时,SO<sub>2</sub>不仅与吸附在活性焦表面的NH<sub>3</sub>发生反应被脱除,更主要的是,吸附在焦表面的NH<sub>3</sub>促进了SO<sub>2</sub>与O<sub>2</sub>和H<sub>2</sub>O发生反应,从而大大提高了SO<sub>2</sub>的脱除量。

活性焦脱除SO<sub>2</sub>的能力不仅取决于其物理特性,同时也取决于它的表面化学特性,尤其是表面的含氧及含氮等碱性官能团。对新鲜活性焦与吸附NH<sub>3</sub>的焦进行了X射线光电能谱分析(XPS)见

表3。

表3 XPS 表面元素分析结果

样品	表面元素组成/%				
	C	O	N	O/C	N/C
新鲜活性焦	79.43	19.76	0.81	25	1
吸附 NH <sub>3</sub> 的焦	80.35	18.28	1.37	23	2

由XPS分析结果可知,吸附NH<sub>3</sub>后,焦表面含氧官能团略有减少,含N官能团明显增加。文献[1]表明,活性焦吸附NH<sub>3</sub>后,NH<sub>3</sub>分解成NH<sub>2</sub>或NH自由基与焦表面的一些基团发生反应,生成氨基化合物和胺等含N官能团,形成具有相当大离子交换能力的碱性焦表面,很大程度上提高了活性焦脱硫性能。许多学者认为<sup>[4-5]</sup>,活性焦表面的含N官能团对活性焦脱硫具有很好的促进作用,是活性焦脱硫过程的活性位。

由此可以推断,活性焦吸附NH<sub>3</sub>后,增加了焦表面的脱硫活性位,促进了SO<sub>2</sub>的吸附。在有O<sub>2</sub>和H<sub>2</sub>O的存在下,活性焦表面的NH<sub>3</sub>不仅仅与SO<sub>2</sub>反应,而且其产生的含N官能团促进了SO<sub>2</sub>在活性焦表面的吸附及氧化,并转化成硫酸。

### 3 结 论

由以上分析可得,当烟气中不含有H<sub>2</sub>O和O<sub>2</sub>时,SO<sub>2</sub>在活性焦脱表面的脱除主要是物理吸附。

当活性焦吸附NH<sub>3</sub>后,增加了焦表面碱性,提高了对SO<sub>2</sub>的吸附能力。当烟气中含有H<sub>2</sub>O和O<sub>2</sub>时,SO<sub>2</sub>在活性焦表面的脱除包括吸附和表面反应,吸附在焦表面的SO<sub>2</sub>与O<sub>2</sub>、H<sub>2</sub>O反应生成硫酸,并空出活性位,提高了SO<sub>2</sub>的脱除。当活性焦吸附NH<sub>3</sub>后,其脱除SO<sub>2</sub>能力得到很大提高,NH<sub>3</sub>吸附在焦表面不仅与硫酸反应,其产生的含N碱性官能团,对活性焦脱硫具有很好的促进作用。

### 参考文献:

- [1] 张方炜.烟气活性焦干法脱硫工艺及其在电厂中的应用[J].电力勘探设计,2009,3(6):34-41
- [2] Mangun CL, Debar JA, Economy J. Adsorption of sulfur dioxide on ammonia-treated activated carbon fibers [J]. Carbon, 2001,39:1689-1696.
- [3] Vinke P, Van Der Ejik M, Verhree E, ect. Modification of the surfaces of a gas-activated carbon and a chemically activated carbon with nitric acid, hypochlorite, and ammonia [J]. Carbon, 1994,32(4):675-686.
- [4] Li KX, Ling LC, Lu CX, ect. Catalytic removal of SO<sub>2</sub> over ammonia-activated carbon fibers [J]. Carbon, 2001,39:1803-1808.
- [5] Lusi Xu, JiaGuo, FengJin, ect. Removal of SO<sub>2</sub> from O<sub>2</sub>-containing flue gas by activated carbon fiber (ACF) impregnated with NH<sub>3</sub> [J]. Chemosphere, 2006,62:823-826.

## Study of removal of SO<sub>2</sub> by activated coke impregnated with NH<sub>3</sub>

WU Tao, GUO Zhi, LIANG Da-ming, SUN Zhong-chao, LI Lan-ting

(Beijing Research Institute of Coal Chemistry, China Coal Research Institute, Beijing 100013, China)

**Abstract:** Adsorption of SO<sub>2</sub> from different containing gas by activated coke and activated coke impregnated with NH<sub>3</sub> was studied. Experimental results show that when the flue gas without O<sub>2</sub>-containing and moisture, SO<sub>2</sub> removal in the activated coke is physical adsorption. The activated coke is impregnated with NH<sub>3</sub>, the NH<sub>3</sub> on the surface of coke react with SO<sub>2</sub>, and improve the removal of SO<sub>2</sub>. When the flue gas with O<sub>2</sub>-containing and moisture, the activated coke removal of SO<sub>2</sub> is the physical and reaction. The activated coke is impregnated with NH<sub>3</sub> can promote the removal of SO<sub>2</sub> significantly. Through X-ray photoelectron spectrometer find that the nitrogen-containing functional groups increase on the surface of activated coke impregnated with NH<sub>3</sub>. These functional groups advance the adsorption and oxidation of SO<sub>2</sub>.

**Key words:** activated coke; desulfurization; adsorb NH<sub>3</sub>